

# مدل سازی بر هم کنش ارتوز و کفی با بافت نرم، استخوان‌ها، غضروف‌ها و تاندون‌ها در بیماری راه رفتن اسبی به روش اجزای محدود برای کاهش تنش در پای بیمار

نیما جمشیدی<sup>\*</sup>، حسن حنیفه<sup>۲</sup>، مصطفی رستمی<sup>۳</sup>، سیامک نجاریان<sup>۴</sup>

استادیار، دانشگاه اصفهان، دانشکده فنی و مهندسی، گروه مهندسی پزشکی، آکارشناس ارشد بیومکانیک، دانشگاه آزاد اسلامی، واحد علوم تحقیقات،<sup>۳</sup> دانشیار، دانشکده مهندسی پزشکی، دانشگاه صنعتی امیرکبیر،<sup>۴</sup> استاد، دانشکده مهندسی پزشکی، دانشگاه صنعتی امیرکبیر.

\*نویسنده پاسخگو: Email: nima\_jamshidi@yahoo.com

## چکیده

مقدمه: در این مطالعه، مدل سه بعدی اجزای محدود راه رفتن به کمک ارتوز و با توجه به اطلاعات سینتیکی بیماران نوروپاتیک مبتلا به راه رفتن اسبی برای بهینه سازی عملکرد ارتوز مج‌پا از طریق کمینه کردن تنش در کف پای بیماران، اجرا شده است.

مواد و روش‌ها: داده‌های سینتیکی مورد نیاز برای مدل از ثبت اطلاعات حرکتی بیمار توسط صفحه‌ی سنجش نیروی عکس‌العمل زمین و آنالیز آن توسط نرم‌افزار بیوور بدست آمده است.

یافته‌ها: در این مدل سازی میزان تنش انتقال‌یافته به بافت نرم و استخوان‌ها در حین فاز استنس، در راه رفتن بیمار محاسبه و سپس تغییرات تنش در مفاصل، با در نظر گرفتن اثر ارتوز بررسی شده است. برخلاف تحقیقات قبلی، در این مدل تاثیر نقش ارتوز بر روی تنش تولیدی در استخوان‌ها و بافت نرم به صورت دینامیکی و پیوسته با زمان مدل سازی شده و همچنین تنش‌های تماسی بین کفی ارتوز و مج‌پا در مدل سازی محاسبه شده است.

بحث: کاهش تنش‌های تولیدی در کفی می‌تواند عملکرد ارتوز مج‌پا را در راه رفتن غیرنرمال بهبود بخشیده و بهینه ترین کفی براساس اطلاعات فردی بیماران طراحی یا انتخاب گردد.

کلید واژه: راه رفتن اسبی، مدل سازی بیومکانیکی، تحلیل تنش، شبیه سازی.

تاریخ دریافت: ۱۳۹۰/۶/۲۲

تاریخ پذیرش: ۱۳۹۰/۹/۲۰

که مزیت مهمی در مدلسازی برهمنگاش ارتوز بشمار می‌رود. هدف از این مطالعه، استفاده از روش اجزاء محدود جهت بررسی میزان تنش ایجاد شده در استخوان و کفی، هنگام استفاده از ارتوز و طراحی کفی مناسب برای کاهش تنش نامطلوب ناشی از افتادگی پا در بافت نرم، استخوان و سایر اعضاء پا پرداخته می‌شود. برخلاف تحقیقات قبلی، مدلسازی ارتوز مج‌پا به صورت کاملاً دقیق از روی تصاویر حاصل از ام‌آرآی پای یک بیمار و با در نظر گرفتن تمام جزئیات شامل مفاصل، ماهیچه‌ها و غضروف‌ها مدلسازی شده‌است و عملکرد ارتوز مج‌پا با استفاده از اطلاعات حاصل از صفحات سنجش نیرو در حین راه‌رفتن غیرطبیعی به‌طور کمی بررسی شده‌است.

در این رهیافت، سعی شده‌است که مدل قابلیت طراحی (انتخاب) بهترین کفی را براساس اطلاعات فردی بیماران دارا باشد. از دستاوردهای این تحقیق می‌توان به ساخت مدل بر مبنای هندسه واقعی با جزئیات کامل آناتومیکی پا مانند نقش غضروف‌ها، رباطها، زردپی و بافت نرم اشاره کرد. نتایج حاصل از حل مدل، در شرایط دینامیکی و استاتیکی، امکان بررسی جامع موقعیت پا جهت طراحی ارتوز با در نظر گرفتن نوع راه‌رفتن فرد را فراهم می‌کند.

### مواد و روش‌ها

#### مدل اجزاء محدود

برای بررسی تنش و فشار وارد بر پای بیمار مبتلا به افتادگی پا بر اثر ضایعات نخاعی درجه دو از ارتوزهای متداول مج‌پا استفاده گردید، هندسه مدل سه بعدی اجزاء محدود براساس عکس‌های ام‌آرآی مطابق اندازه و آناتومی واقعی پا ایجاد شده‌است. به کمک نرمافزار 3D-Doctor (۱۲) حجم‌های شامل استخوان و بافت نرم مدل شدند. در محیط نرمافزار ANSYS.11 (۱۳) به تکمیل و اصلاح مدل پرداخته شد. نکته قابل ذکر این که دقت زیادی برای سطوح انتهایی و تماس استخوان‌ها صرف شد تا نحوه انتقال نیروی بین آن‌ها و نحوه توزیع تنش به واقعیت نزدیک گردد.

#### اجزا مدل

۲۶ استخوان پا در مدل با اندازه و جزئیات منحنی‌های کامل استخوان‌ها ی پا در نظر گرفته شده‌اند. ۲۹ غضروف، بین سطوح تماس استخوان‌ها با محاسبه فاصله آن‌ها از یکدیگر و براساس اطلاعات دقیق آناتومیک پا مدل

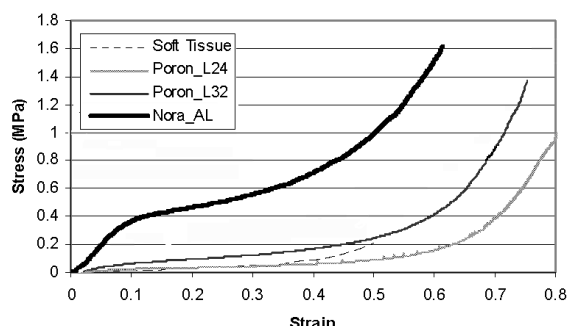
#### مقدمه

در سال‌های اخیر تمايل رو به افزایشی به تحقیق درباره مدلسازی راه‌رفتن براساس روش اجزای محدود با توجه به کاربردهای بالقوه‌اش در زمینه‌ی بیومکانیک بالینی، مهندسی توانبخشی بوجود آمده‌است (۱-۹). یکی از جنبه‌های بسیار مهم در تحلیل راه‌رفتن بررسی تنش مفاصل با استفاده از داده‌های سینماتیکی یا سینتیکی است. از آنجایی که بدست آوردن مقادیر تنش تولیدی در مفاصل بیماران در حین راه‌رفتن به‌طور مستقیم امکان پذیر نمی‌باشد، با استفاده از مدل اجزای محدود می‌توان بهینه‌سازی‌های مورد نظر را انجام داد. ساختار پا ارتباط حیاتی بین بدن و سطح زمین را برقرار می‌کند و نقش کلیدی در حرکت انسان دارد. سالم بودن ساختار عصبی، عضلانی و اسکلتی، اساس حرکت طبیعی راه‌رفتن را تشکیل می‌دهند. هر ناهنجاری در ساختار عصبی، عضلانی و اسکلتی راه‌رفتن غیرنرمال را ایجاد می‌کند. افتادگی پا یک اختلال عصبی-ماهیچه‌ای است که در آن بیماران، دچار کم‌توانی در بلند کردن پا از قسمت مج می‌شوند. ارتوز مج‌پا برای جلوگیری از افتادگی پا در فاز نوسان پا و ناتوانی در اعمال نیرو در موقعیت ایستادن بر پا برای ورود به مرحله بعد راه‌رفتن به طور خارجی به ماهیچه‌ی ساق پا متصل می‌شود. ارتوز مج‌پا کنترل حرکت پا بعد از برخورد پاشنه را نیز بر عهده دارد. امروزه در زمینه شبیه‌سازی و طراحی ارتوز کفی پا فعالیت‌های بسیاری صورت گرفته‌است. مدلسازی کفی و ارتوز به دو روش دو بعدی (۶و۵) و سه بعدی (۷-۱۰) صورت گرفته‌است. با توجه به محدودیت‌های تحلیلی بسیار از جمله تعریف شرایط واقعی پا در مدل‌های دو بعدی امروزه کمتر از آن‌ها استفاده می‌گردد و در بیشتر مطالعات، محققین برای تکمیل و توسعه مدل‌های سه بعدی را پیشنهاد دادند. تفاوت مدل‌های سه بعدی در جزئیات در نظر گرفته شده از جمله مدل سه بعدی شامل استخوان و زردپی، بافت نرم و ... است. به‌طور مثال در مطالعه‌ای سه بعدی که توسط هسو و همکاران صورت گرفته، مدل در وضعیت خاصی از تماس پاشنه با زمین حل شده و بارگذاری به صورت دینامیکی، زمانی و پیوسته به مدل وارد نگردیده است (۱۱).

در این تحقیق برخلاف تحقیقات قبلی مدل در وضعیت خاصی از تماس پاشنه با زمین حل نشده بلکه بارگذاری به صورت دینامیکی، زمانی و پیوسته به مدل وارد گردیده است

به استخوان ها و غضروف ها خواص مواد الاستیک، خطی و یکنواخت نسبت داده شده است. برای رباطها و زردپی از مدل مواد الاستیک خطی که تنها قادر به تحمل نیروی کششی هستند استفاده شده است. از ماده های پر الاستیک غیرخطی و یکنواخت برای مدل سازی خصوصیات بافت نرم و از مواد های پر الاستیک با رفتار غیرخطی برای مدل سازی خواص مکانیکی کفی استفاده شده است. در جدول ۱ خصوصیات و نوع المان بکار رفته بیان شده است. در جدول ۲ مقادیر مدول الاستیسیته، ضریب پواسون و مرجع بکار رفته در مدل اجزاء محدود بیان شده است. در جدول ۲ مراجع به شرح زیر می باشد: در مدل خواص مکانیکی مربوط به جنس استخوان ها، غضروف ها، بافت نرم، رباطها، زردپی و کفی به ترتیب از تحقیقات ناکومورا و همکاران (۶)، آتاناسیوس و همکاران (۱۴)، لمون و همکاران (۱۵)، سیگلر و همکاران (۱۶)، رایت و همکاران (۱۷) و مینگ ژانگ و همکاران (۷) استفاده شده است.

در شکل ۴ منحنی تنش، کرنش مربوط به مدل غیرخطی های پر الاستیک استفاده شده برای بافت نرم و سه لایه مختلف کفی استاندارد نشان داده شده است.



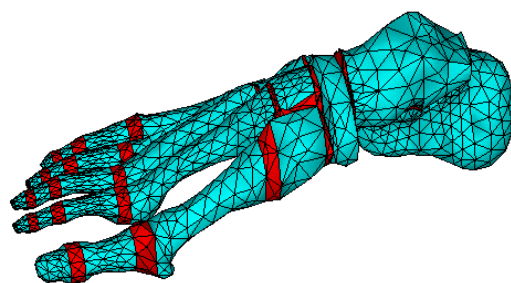
شکل ۴: منحنی تنش-کرنش مدل های پر الاستیک استفاده شده برای بافت نرم و سه لایه مختلف کفی استاندارد (۴).

جدول ۱: خصوصیات المان ها برای مدل اجزاء محدود (۱۳).

نام المان	تعداد گره	نوع محاسبات
SOLID168	۱۰	مدل سازی سه بعدی تنش سازه ای
LINK10	۲	مدل سازی سه بعدی کشش و فشار
TARGE170	۸	مدل سازی سه بعدی تنش سازه ای
CONTA174	۸	مدل سازی سه بعدی تماس سطوح

جهت مدل سازی اجزای محدود استخوان ها، غضروف ها، بافت نرم ارتوز و کفی در نرم افزار از المان های ۱۰ گره ای ۱۶۸ SOLID

شده اند. ۱۱۰ رباط و زردپی به صورت نوارهایی برای پیوند استخوان ها و ایجاد استحکام بافت نرم در مدل وجود دارد. بافت نرم به استخوان ها چسبیده و شکل ظاهری پا را تشکیل می دهد. هندسه و مدل مشبّدی شده استخوان ها و غضروف ها در شکل ۱ نشان داده شده است.



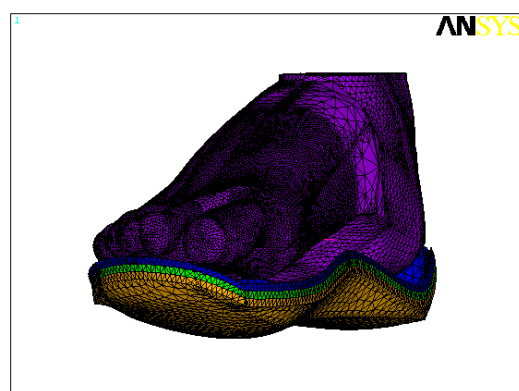
شکل ۱: مدل اجزاء محدود استخوان ها و غضروف ها.

کفی ارتوز، براساس منحنی یک کفی استاندارد شامل سه لایه با ضخامت متغیر در شکل ۲ نشان داده شده است.



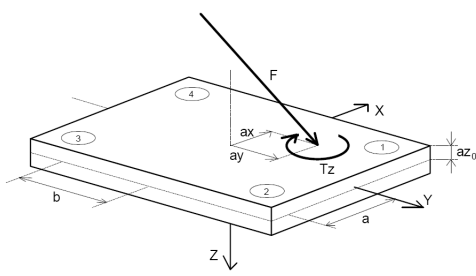
شکل ۲: کفی سه لایه ارتوز با ضخامت متغیر، براساس منحنی یک کفی استاندارد.

تماس کفی ارتوز، با مدل کامل پا شامل بافت نرم در شکل ۳ نشان داده شده است.

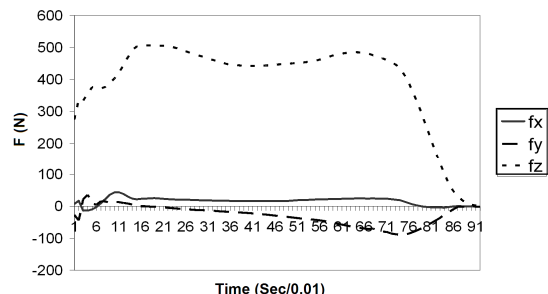


شکل ۳: مدل کامل اجزاء محدود حل شده به همراه بافت نرم و کفی استاندارد.

## خواص مکانیکی

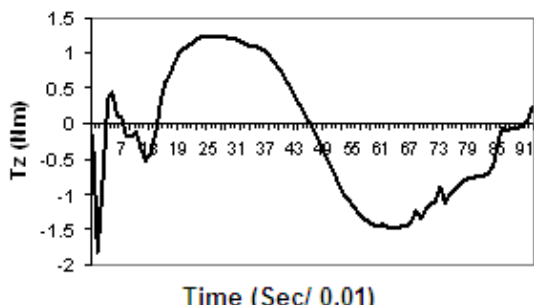


شکل ۵: تصویر شماتیک سیستم مختصات کیستلر (۱۹)



شکل ۶: نیروهای اندازه‌گیری شده در سه راستا توسط صفحه نیرو، از برخورد پاشنه تا بالابدن پا.

در شکل ۷ منحنی گشتاور عکس العمل وارد بر مرکز سطح برخورد حاصل از اطلاعات صفحه سنجش نیروی عکس العمل زمین در زمان تماس پا با صفحه سنجش محاسبه شده است. در مدل اجزاء محدود سه تابع نیرو براساس اطلاعات شکل ۶ و گشتاور وابسته به زمان براساس اطلاعات شکل ۷ تعریف و به کفی اعمال شد، انتقال نیرو به پا از طریق ایجاد تماس بین کفی و پا صورت پذیرفته است. اعمال شرایط فوق باعث مدل‌سازی دقیق راه‌رفتن از روی اطلاعات کلینیکی خواهد شد.



شکل ۷: گشتاور عکس العمل وارد بر مرکز سطح تماس با واحد زمانی ۰.۰۱ ثانیه.

به رباطها و زردپی از المان LINK10 استفاده شده است. جهت مدل‌سازی برخورد از المان‌های TARGET 170 و CONTA174 استفاده شده است.

جدول ۲: خصوصیات مواد برای مدل اجزاء محدود.

مرجع	$\nu$	E(MPa)	اجزا
(۶)	۰.۳	۷۳۰۰	استخوان
(۱۴)	۰.۴	۱	غضروف
(۱۵)	۰.۴۵۲	هایپر الاستیک	بافت نرم
(۱۶)	۲۶۰	رباط	تراکم ناپذیر
(۱۷)	۳۵۰	زرد پی	تراکم ناپذیر
(۷)	-	غیرخطی	کفی

E مدل الاستیستی،  $\nu$  ضریب پواسون

### شرایط مرزی

برای بررسی شرایط مرزی از نظر دینامیکی فاز برخورد پا با زمین در حین راه‌رفتن مطالعه شده است. نیروهای ایجاد شده از برخورد پا با زمین توسط صفحه سنجش نیرو از ابتدای برخورد پاشنه تا جدا شدن پاشنه از زمین در محاسبات منظور شده است. در مدل اجزاء محدود برای اعمال شرایط مرزی با ثابت‌گرفتن پا و اعمال بار از طریق برخورد کفی به پا مدل‌سازی صورت‌گرفته است. در مطالعه‌ی حاضر پارامترهای صفحه سنجش نیروی عکس العمل زمین با مؤلفه‌های متغیر حوزه‌ی زمان با استفاده از صفحه نیروسنج با ابعاد ۴۰۰\*۶۰۰ mm (Model 9286AA, Kistler Group, Winterthur, Switzerland) مجهز به سنسورهای پیزوالکتریک، مطالعه شده است. داده‌ها با نرخ ۱KHz نمونه‌برداری شده و از نرم‌افزار BIOWARE مناسب و مرتبط برای آنالیز داده استفاده شده است (۱۸). همان‌طور که در شکل ۵ نشان داده شده است، نیروی عمودی در سیستم مختصات کیستلر محاسبه شده است، البته با این شرط که جهت قدمزدن در جهت محور Y مثبت باشد. همچنین نیروهای قدمامی-خلفی و داخلی-خارجی به ترتیب محاسبه شده است. منحنی اطلاعات نیروهای اعمالی به کف پا در شکل ۶ مشاهده می‌شود. این مقادیر به صورت توابع وابسته به زمان در سه راستا تعریف شده‌اند.

### تعريف تماس

ضخامت، جنس ارتوز مچ‌پا با داشتن مقادیر مختلف تنش، کرنش بر هر گره یا هر عضو، امکان‌پذیر است. طراحی کفی بهبودیافته با ایجاد بسترهای مناسب برای بافت نرم در کف ارتوز از خضم‌ها و خدمات احتمالی جلوگیری می‌کند و مانع از آسیب‌دیدن غضروف‌ها، سایش استخوان‌ها یا تغییر شکل پا بر اثر نیروهای اعمال شده می‌گردد.

#### ارزشیابی مدل

برای بررسی صحت مقادیر محاسبه شده توسط مدل به مقایسه‌ای با تحقیقات قبلی در این زمینه پرداخته شده است. البته آنچه که در مقالات مختلف مورد بررسی قرار گرفته تحلیلهای استاتیکی است همان‌طور که اشاره شد در حین راه‌رفتن مقدار و راستای نیروها تغییر می‌کند. درستون اول جدول ۳ اطلاعات تنش‌های ستون اول از چپ، نیروهای اعمال شده در سه موقعیت ضربه پاشنه، ایستاده بر پا و هنگام بلندشدن بر پنجه در مورد یک فرد سالم بطور استاتیکی از مرجع (۷) آورده شده است.

جدول ۳: مقایسه‌ای بین حداکثر تنش بدست آمده در

استخوان‌ها و مرجع (۷).

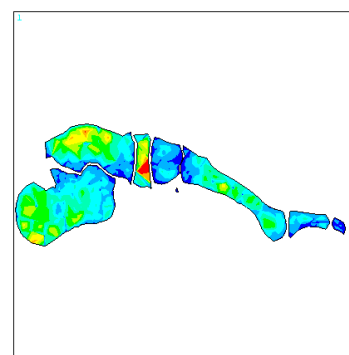
استخوان	حداکثر تنش ون‌مایزز (MPa)	
	نتایج حاصل از مدل	مرجع (۷)
Talus	۲.۸۹	۵.۹۰
Calcaneus	۳.۹۴	۳.۹۳
Navicular	۱.۴۷	۴.۶۳
Cuboid	۱.۵۸	۲.۰۱
Medial Cuneiform	۰.۶۳	۴.۶۳
Intermediate Cuneiform	۱.۴۲	۱.۰۷
Lateral Cuneiform	۲.۲۲	۲.۶۲
1st Metatarsal	۲.۳۰	۳.۶۰
2nd Metatarsal	۴.۴۷	۲.۴۹
3rd Metatarsal	۷.۹۴	۴.۵۹
4th Metatarsal	۲.۳۲	۳.۲۷
5th Metatarsal	۲.۴۲	۲.۵۹
1st Toe	۰.۴۶	۱.۰۳
2nd Toe	۰.۳۴	۱.۰۶
3rd Toe	۰.۶۳	۱.۳۱
4th Toe	۰.۱۶	۰.۸۶
5th Toe	۰.۱۰	۰.۷۵

تفاوت عددی مشاهده شده مابین اطلاعات مرجع ۷ و مدل ارائه شده در مقاله به دلیل نکات زیر می‌باشد:

صفحه سنجش نیروی عکس‌العمل زمین، نیروی اصطکاک ایجاد شده بر اثر برخورد پا در حین راه‌رفتن را نیز اندازه‌گیری می‌کند. در مدل اجزاء محدود، ضریب متوسط اصطکاک دینامیکی را برابر ۰.۱۲۳ و ضریب اصطکاک استاتیکی برابر ۰.۶ در نظر گرفته شده است (۲۰). برای بررسی شرایط مطلوب حداکثر تنش ایجاد شده ناشی از برخورد در ارتوز و پا محاسبه شده است.

#### معیارهای طراحی ارتوز

هدف اصلی ما از طراحی ارتوز ایجاد شرایط مطلوب برای فرد بیمار در هنگام راه‌رفتن است. یکی از مناسب‌ترین روش‌های بررسی همه اجزاء داخلی پا در هنگام راه‌رفتن، شبیه‌سازی به روش اجزاء محدود است. امروزه امکان بررسی تمامی اجزاء داخلی پا مانند ماهیچه‌ها، استخوان‌ها، غضروف‌ها و ... از نظر تنش تولید شده در اعضاء، در هنگام راه‌رفتن بدون استفاده از ابزار شبیه‌سازی وجود ندارد. معیار اصلی در این پژوهش کاهش تنش نامطلوب ایجاد شده در تمامی اجزاء داخلی پا از جمله بافت نرم، استخوان، غضروف و ارتوز است. متغیرهای طراحی برای رسیدن به طرح مناسب ارتوز، تغییر نوع مواد بکار رفته در ارتوز، تعیین فرم و میزان ضخامت ارتوز است. شکل ۸ تنش‌های ایجاد شده را در اعضاء داخلی پا در مقطعی در راستای انگشت دوم پا هنگام راه‌رفتن فرد بدون کفی نمایش می‌دهد. تنش‌های ایجاد شده در مقاطع گوناگون قابل بررسی هستند و می‌توانند با توجه به شرایط زمانی و موقعیت پا در حین راه‌رفتن از روی مدل محاسبه گردد.



شکل ۸: تنش ون‌مایزز ایجاد شده اعضاء داخلی شامل استخوان‌ها در حین راه‌رفتن (مقطعی در راستای انگشت دوم پا).

از جمله امکانات مدل بررسی مقادیر مختلف تنش، کرنش، نیروی اعمال شده بر هر گره، مقطع و یا هر عضو در طول زمان است. طراحی کفی مناسب برای ارتوز از نظر شکل،

این کفی مانع ایجاد تنش نامطلوب در قسمت‌های مختلف خواهد شد و مانع آسیب دیدن بافت نرم، استخوان و غضروف‌ها خواهد شد. در جدول ۴ به بررسی میزان تنش‌های ایجادشده در استخوان‌ها بعد از استفاده از کفی ارتوز پرداخته شده است. این کفی در حقیقت تنش ایجادشده بر اثر راه رفتن را به نحو مطلوبی کاهش داده است.

جدول ۴: مقایسه تنش محاسبه شده در استخوان‌ها با استفاده از کفی و درصد اختلاف آن‌ها.

استخوان	حداکثر تنش ون‌مایزز (MPa)		
	همراه کفی	بدون کفی	درصد اختلاف
Talus	۵.۹۰	۵.۹۰	۰
Calcaneus	۳.۲۸	۳.۹۳	-۱۶.۵۳۹
Navicular	۲.۸۸	۴.۶۳	-۳۷.۷۹۶
Cuboid	۲.۱۸	۲.۰۱	۸.۴۵۷۷
Medial Cuneiform	۴.۳۵	۴.۶۳	-۶.۴۵۱
Intermediate Cuneiform	۱.۲۳	۱.۰۷	۱۳.۰۰۸
Lateral Cuneiform	۲.۶۲	۲.۶۲	-
1st Metatarsal	۲.۴۹	۳.۶۰	-۳۰.۸۳۳
2nd Metatarsal	۲.۸۸	۲.۴۹	۱۵.۶۶۲
3rd Metatarsal	۳.۹۴	۴.۵۹	-۱۴.۱۶۱
4th Metatarsal	۲.۸۰	۳.۲۷	-۱۴.۳۷۳۰
5th Metatarsal	۲.۱۶	۲.۵۹	-۱۶.۶۰۴۳
1st Toe	۱.۰۶	۱.۰۳	۲.۱۲۶
2nd Toe	۰.۸۲	۱.۰۶	-۲۲.۶۴۱۵
3rd Toe	۰.۶۵	۱.۳۱	۵۰.۳۸۱
4th Toe	۰.۹۳	۰.۸۶	-۸.۱۳۹۵
5th Toe	۰.۹۸	۰.۷۵	۳۰.۶۶۷

با توجه به نتایج بالا می‌توان به این نکته نیز اشاره کرد که تنش‌های ایجادشده نیز به تنش‌های یک فرد سالم نزدیک شده است. در شکل ۹ الف و ب به ترتیب توزیع تنش ایجاد شده در کف پا بدون کفی و بعد از استفاده از کفی مشاهده می‌شود. با استفاده از کفی توزیع تنش در کف پا گستردگی شده و از مرکز تنش با توجه به منحنی خاص طراحی شده برای کفی کاسته شده تا مانع از آسیب به بافت نرم و اعضاء داخلی پا شود.

لازم به توضیح است که در شکل نقاط تیره دارای تنش یکسان نیستند. مقایسه شکل ۹ الف و ب آشکار می‌سازد که با استفاده از کفی میزان تنش در کف پای بیمار در حدود ۷۲.۵۶ درصد کاهش یافته است. از طرفی همزمان با

در مدل ارائه شده از اطلاعات حاصل از ام آر آی استفاده شده است و این موضوع باعث ایجاد هندسه دقیق‌تری نسبت به مدل مرجع ۷ خواهد شد.

اطلاعات فشار کفپا که در بیماران در مدل مرجع ۷ به صورت تقریبی و شماتیک در نظر گرفته شده است. در صورتی که در مدل ارائه شده اطلاعات براساس آزمایشات کلینیکی متعددی استخراج شده است، دقت اطلاعات بدست آمده از کارهای کلینیکی باعث بهبود نتایج عددی در مدل ارائه شده نسبت به کار قبلی شده است.

در مدل ارائه شده اطلاعات مربوط به ضریب اصطکاک به صورت دقیق از روی اطلاعات صفحه سنجش محاسبه شده است و تخمینی نمی‌باشد.

در مدل ارائه شده، با در نظر گرفتن نقش غضروف، رباطها و بافت نرم، و با حذف برخورد و ضربه بین استخوان‌ها میزان تنش محاسبه شده نسبت به مدل‌های قبلی به واقعیت نزدیک تر خواهد شد.

#### امکانات مدل و روش تحلیل

مزیت این مدل اجزاء محدود، شبیه‌سازی کاملاً نزدیک به شرایط واقعی آناتومیکی، ماهیچه‌ای و اسکلتی پا است. در این مدل انتقال نیروی بین استخوان‌ها از طریق غضروف‌ها و رباط‌های بین آن‌ها صورت می‌گیرد، در این صورت با حذف برخورد و ضربه بین استخوان‌ها نسبت به مدل‌های قبلی میزان تنش محاسبه شده به واقعیت نزدیک تر خواهد شد. در مدل ارائه شده، بافت نرم به نحو مطلوبی به اعضاء داخلی متصل شده و شکل کامل خارجی پا را تشکیل می‌دهد؛ ضمناً برای ایجاد استحکام بافت نرم خارجی از زردپی در مدل استفاده شده است. مدل قابلیت تطبیق جهت ورود اطلاعات گستره وسیعی از افراد با مشکلات گوناگون حرکتی را دارد. مدل از ۲۵۰۴۲۳ المان و ۳۹۰۲۳۴ گره و ۱۲۹۷۷۷۲ درجه آزادی تشکیل شده و برای ایجاد آن‌ها ۵ مرحله بهینه‌سازی و ۱۰ مرحله تمرکز سطحی بکار رفته است.

#### یافته‌ها

با توجه به معیارهای طراحی و بهینه‌سازی ارتوز مچ پا از روش و محاسبات مختلف در مورد کفی‌هایی با خصامت و جنس مختلف، کفی با ضخامت ۸ میلیمتر که شامل دو جنس (Poron L24, Poron L32) طراحی شده و این کفی بر روی ارتوز مچ پا قرار می‌گیرد.

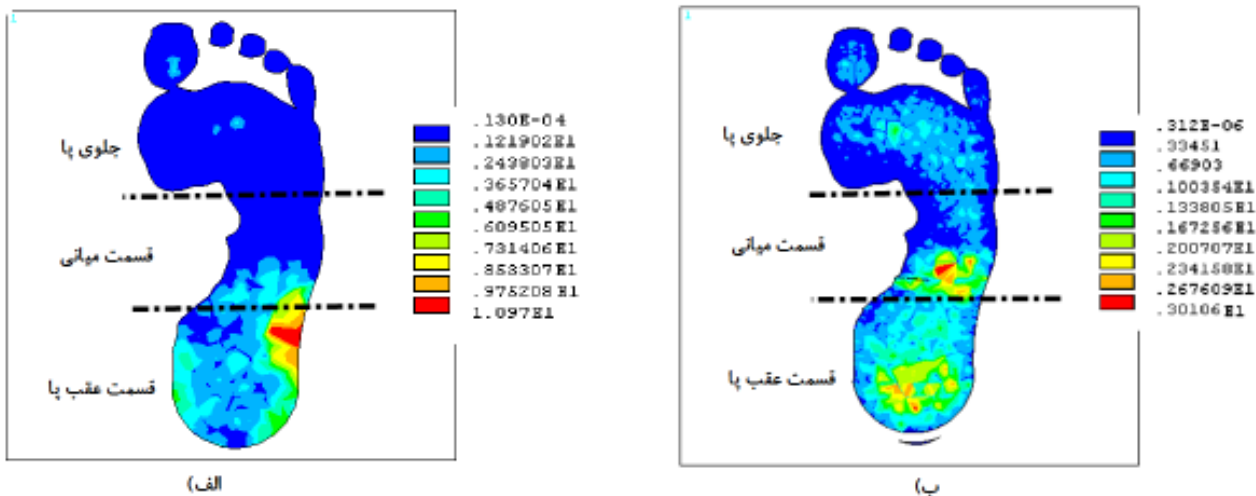
از مدل فوق می توان در طراحی کفی مناسب برای بیماران دچار اختلالات حرکتی با توجه به اطلاعات سینتیکی اختصاصی مربوط به هر بیمار، استفاده نمود. اضافه کردن استخوان های متصل به بالای مج به مدل ارائه شده امکان

بررسی سایر ارتوزهای بالای زانو را نیز فراهم خواهد کرد. ساخت مدل هندسی از روی عکس های ام آر آی و استفاده از فشار سنج در کف پای بیمار برای اندازه گیری حرکت استفاده از سیکل فوق در طراحی کفی به ما این امکان را می دهد که بتوان میزان تنفس را دقیق تر محاسبه نمود.

از نتایج جالب توجه این تحقیق آن است که استفاده از کفی نه تنها حداقل تنفس را در کف پای بیمار به میزان ۷۲.۵۶ درصد نسبت به پای برهنه کاهش می دهد بلکه محل گرادیان تنفس، میزان گرادیان و سطح ناحیه ای که حداقل تنفس در آن وجود دارد را نیز کاهش می دهد. از آنجایی که اندازه و گرادیان تنفس در کف پای بیمار ارتباط مستقیمی با نیروهای موجود در کف پای فرد بیمار در طول زمان دارد از نکات قوت این تحقیق استفاده از صفحه شتاب سنج و اندازه گیری و اعمال فشار وارد بر کف پای بیمار در طول محاسبه مدل به صورت پیوسته می باشد.

کاهش میزان تنفس در کف پای بیمار، توزیع تنفس یکنواخت تر شده است. همانطور که در شکل ۹ مشاهده می شود استفاده از کفی هم بر روی مقدار بیشتر تنفس تاثیر گذار است و هم باعث جابجایی محل اعمال تنفس می گردد. در هنگامی که از کفی استفاده نمی شود، ملاحظه می شود که بیشترین مقدار تنفس در قسمت عقب پا ایجاد می شود و تنفس بیشینه در یک سوم کف پا متمرکز شده است که این موضوع باعث آسیب رساندن به پوست و بافت نرم در کف پای بیماران می شود. ولی در هنگام استفاده از کفی توزیع تنفس در کف پای بیمار یکنواخت تر نسبت به حالت بدون کفی می باشد و این موضوع احتمال ایجاد زخم در کف پای بیمار را کاهش می دهد زیرا گرادیان تنفس یا اختلاف تنفس وارد به بافت کف پا نسبت به حالت بدون کفی بسیار کمتر شده است. از سوی دیگر با استفاده از کفی همانطور که مشاهده می شود تنفس به جای تمرکز در ناحیه یک سوم انتهایی کف پا در سه ناحیه جلو و میانی و پشت پا به طور یکنواخت تری وجود دارد.

### نتیجه گیری



شکل ۹: توزیع تنفس ون مایزز در کف پای بیمار (الف) بدون استفاده از کفی (ب) با استفاده از کفی.

### منابع

- Godesta AC; Beaugonin M; Haug E; Taylor M; Gregson PJ .Simulation of a knee joint replacement during a gait cycle using explicit finite element analysis. Journal of Biomechanics, 35(2): 267-275, 2002.
- Cheung JT; Zhang M; "Parametric design of pressure-relieving foot orthosis using statistics-based finite element method. Medical Engineering & Physics, 30(3): 269-77, 2007.
- Checa-Esteban S; New AMR .Simulation of a knee implanted with an interpositional spacer

- during a gait cycle using explicit finite element analysis. In, 5th World Congress of Biomechanics, Munich, Germany, 19 Jul - 04 Aug 2006. Germany,
4. Cheung G; Zalzal P; Bhandari M; Spelt jk; Papini M .Finite element analysis of a femoral retrograde intramedullary nail subject to gait loading. *Medical Engineering & Physics*, 26(2): 93-108, 2004.
  5. Patil KM; Braak LH; Huson A .Analysis of stresses in two-dimensional models of normal and neuropathic feet. *Medical and Biological Engineering and Computing*, 34(4): 280-284, 1996.
  6. Nakamura S; Crowninshield; RD; Cooper RR .An analysis of soft tissue loading in the foot a preliminary report. *Bulletin of Prosthetics Research*, 18: 27-34, 1981.
  7. Heung JTM; Zhang M; Leung A; Fan YB .Three-dimensional finite element analysis of the foot during standing—a material sensitivity study. *Journal of Biomechanics*, 38(5): 1045-1054, 2005.
  8. Gefen A; Megido-Ravid M; Itzhak Y; Arcan M .Biomechanical Analysis of the Three-Dimensional Foot Structure during Gait: A Basic Tool for Clinical Applications. *Journal of Biomechanical Engineering*, 122(6): 630-639, 2000.
  9. Goske S; Erdemir A; Petre M; Budhabhatti S; Cavanagh P; Reduction of plantar heel pressures: Insole design using finite element analysis. *Journal of Biomechanics*, 39(13): 2363-2370, 2006.
  10. Jacob S; Patil K M; Braak L H; Huson A .Stresses in a 3D two arch model of a normal human foot. *Mechanics Research Communications*, 23(4): 387-393, 1996.
  11. Hsu YC; Gung YW; Shih SH; Feng CK; Wei SH; Yu ch; Chen ch. Using an Optimization Approach to Design an Insole for Lowering Plantar Fascia Stress—a Finite Element Study. *Annals of Biomedical Engineering*, 36(8): 1345–1352, 2008.
  12. 3d-doctor software. 2009. (Online). Available at: <http://www.ablesw.com/3d-doctor/> (Accessed 19 January 2009).
  13. ANSYS software. 2009. (Online). Available at: <http://www.ansys.com/> (Accessed 19 January 2009).
  14. Athanasiou KA; Liu GT; Lavery LA; Lanctot DR; Schenck C .Biomechanical topography of humanrticularcartilage in the first metatarsophalangeal joint. *Clinical Orthopaedics and Related Research*, 348: 269–281, 1998.
  15. Lemmon D; Shiang TY; Hashmi A; Ulbrecht JS; Cavanagh PR .The effect of insoles in therapeutic footwear- a finite element approach. *Journal of Biomechanics*, 30: 615–620, 1997.
  16. Siegler S; Block J; Schneck CD .The mechanical characteristics of the collateral ligaments of the human ankle joint. *Foot & Ankle*, 8: 234–2421, 1988.
  17. Wright DG; Rennels DC .Study of the elastic properties of plantar fascia. *The Journal of Bone and Joint Surgery*, 46: 482–492, 1964.
  18. BioWare software. 2008. (Online). Available at:[http://www.johnmorris.com.au/ssl/store/zcust\\_displayproduct.asp?id=96602](http://www.johnmorris.com.au/ssl/store/zcust_displayproduct.asp?id=96602) (Accessed 10 April 2008).
  19. Vaughan K; 2008; Kistler document (Online). Available at: <http://isbweb.org/software/movanal/vaughan/kistler.pdf> (Accessed April, 2008).
  20. Zhang M; Mak AF .In vivo skin frictional properties. *Prosthetics & Orthotics International*, 23: 135–41, 1999.